

## 流体力によると内柱の振動特性について

京都大学防災研究所 正量 今本博健  
京都大学大学院 学員・武山正人

流れの中に設置された土木構造物に作用する流体力については従来より多くの考え方があるが、流体力による構造物の振動現象についてははかかる問題点が残されている。たとえば、漏水路流線における流体の特性が鉛直方向に変化して柱の内柱のように单纯な形状の構造物における流体力による振動性状は固定端と上端にある場合と下端にある場合とでは多少異る、たとえばこれをもとに予測をすれば、従来の取り扱いでは上端固定内柱のみを用いておこなわれて、実際現象との相応性は必ずしも高いものではない。本研究においては、上端固定および下端固定の2種の内柱を用いて、孤立内柱が漏水路流線に設置された場合の振動性状を実験的に明確にするべく、内柱群すなわち数本の内柱が同時に設置された場合の相互干渉効果について明らかにしようとするものである。

1. 実験装置および方法：実験水路は、長さ50cm、幅50cm、深さ33cmの合成樹脂製直線水路である。路床に配置するは水平に設定されており、実験用内柱としては弾性係数より200N/mm<sup>2</sup>の剛性をもつた樹脂製（弾性係数E≈30,000kg/cm<sup>2</sup>, 密度ρ=1.02g/cm<sup>3</sup>）の長さ33cm、直径1cmのものを採用した。内柱の振動計測装置は、内柱の固定端より2cmの位置に接着されたストレッチャージにより上下位置を取り出し、磁気テーセンサーにより記録されるようになっており、内柱群の相互干渉効果については、図-1に示すように、流れ方向に1、横方向に2rの位置に設置された2本の直接用内柱に対する測定用内柱の振動特性への効果を、種々の位置および流れ方向に1.5rの並接用内柱が設置された場合を意味する。本研究においては、水路下端部に設置された水深調節用セミにより水深E30cmに保ち、3種の流量についての実験を行お、たゞ、二つの水理条件を表-1に示す。

2. 実験結果および考察：図-2はRe=871×10<sup>4</sup>の場合の水路中央部における鉛直方向の平均流量分布E示したものであるが、路床近傍を除く平均流量分布はあまり小さくことわかる。途中ある水深30cmの静水中における自由振動実験より求めた振動測定用内柱の固有振動数および減衰係数の測定結果を表-2に示す。これらの値より明らかのように、途中の場合は水中的場合との場合の流体は固定端の位置によらず異なり、これは水深に比して内柱の長さが大きいためのものと

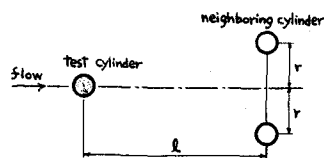


図-1 内柱の配置

|       | 流量  | 水深   | 水深  | Re数  | Fr数   |
|-------|-----|------|-----|------|-------|
| 4-2-1 | 445 | 30.0 | 1.6 | 871  | 0.02  |
| 2     | 462 | 30.0 | 1.6 | 7.39 | 0.180 |
| 3     | 357 | 30.0 | 1.6 | 5.71 | 0.139 |

表-1 水理条件

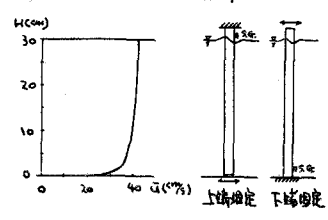


図-2 平均流量分布および2柱間の位置

| 拘束の種類  | 拘束振動数 [Hz] |      | 慣性係数 [-] |      |
|--------|------------|------|----------|------|
|        | 空中         | 水中   | 空中       | 水中   |
| 上端固定内柱 | 4.95       | 4.25 | 1.25     | 2.60 |
| 下端固定内柱 | 20.1       | 16.5 | 1.70     | 2.32 |

表-2 捕定用内柱の拘束振動数および慣性係数

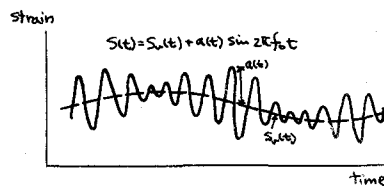


図-3 独立内柱の流れ方向のひずみ量

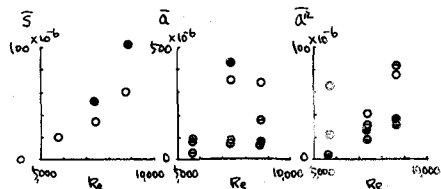


図-4 独立内柱の振動特性 (○USD, ●USL, □LSD, ■LSL)

性による慣性力の作用点と固定点との距離によるものである。図-3は独立内柱の流れ方向のひずみ量拘束側を示したものであるが、これより時間tにおけるひずみ量  $S(t)$  は概略的に長周期の変動成分  $S_0(t)$  と卓越振動数  $\omega$  をもつ短周期の変動成分  $S_a(t)$  と  $a$  2種の成分に分けられることがわかる、つまりよほど長い柱では  $S_0(t)$  と  $S_a(t)$  の比が大きい。

$$S(t) = S_0(t) + S_a(t), \quad S_a(t) = a(t) \sin 2\pi f_0 t, \quad \bar{S}(t) = \overline{S_0(t)}, \quad \bar{S}_a(t) = 0$$

実験においては、上端固定内柱の流れ方向 (LSD) および横方向 (USL)、下端固定内柱の流れ方向 (LSD) および横方向 (LSL) の 4 檐のひずみ量の測定を行なった。独立内柱に対する 3 檐の水理条件における  $\bar{S}$ 、 $a$ 、 $\bar{a}^2$  の測定結果を図-4 に示す。図-4 に見られるように、平均ひずみ量  $\bar{S}$  は  $Re$  数とともに大きくなるが、卓越周期の振幅の時間的変化を表す  $a$  および平均  $Re$  数とともに大きくなることは限らない。また、 $\bar{S}$  は比較的はがれたり大きく、流体力学的性状の複雑さを示すものである。今後さらに詳細な研究を要するものと考えられる。また、内柱群における内柱の相対位置による干渉効果の変化を明らかにするため、各種の相対位置における  $\bar{S}$  と独立内柱の場合における  $\bar{a}_{max}$  との比を図-5 に示したが、上端固定内柱の流れ方向の  $\bar{a}_{max}$  は直接用内柱以上流域では場合により小さくなるものに対し、下流側にいる場合はより若干大きくなる傾向があり、また、上端固定内柱の横方向  $\bar{a}_{max}$  は下端固定内柱の流れ方向および横方向の  $\bar{a}_{max}$  はともに複雑に変化することができる。また、流れ方向の振動における卓越振動数は固有振動数に近い値を示すのに対し、横方向の振動における卓越振動数は内柱の相対位置によらずより大きくなる傾向がある。内柱の場合は  $Re$  数では Strouhal 数の結果の測定結果と同心円約 0.20 とするとこれがわかる。長周期成分  $S_0(t)$  の特性は今後研究を進めて行なう予定である。

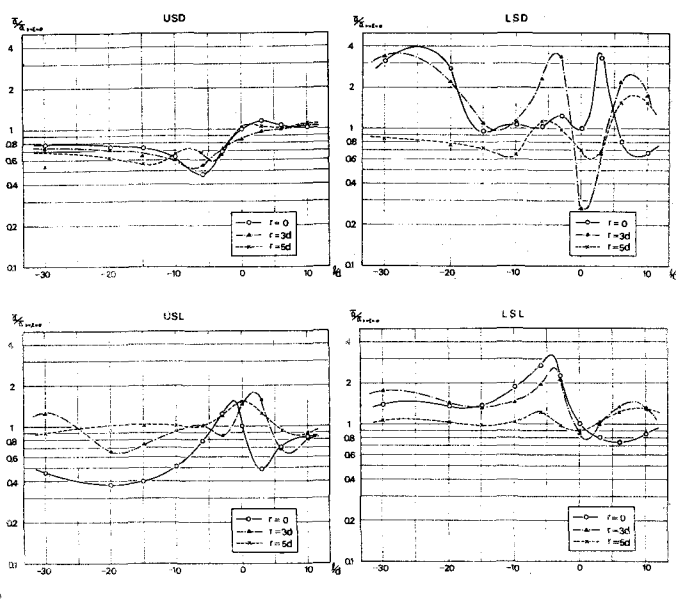


図-5 内柱群における相互干渉効果